

**QUESTÃO 1 (5 valores) (1.1 = 1.0; 1.2 = 4.0)**

Recorra ao algoritmo *scan-line* para calcular as coordenadas dos *pixels* de preenchimento da área bidimensional definida pelo polígono constituído pelos vértices **A(4, 1)**, **B(7, 4)**, **C(7, 7)**, **D(4, 7)** e **E(1, 4)**

- 1.1. Apresente o estado da tabela de arestas (ET - Edge Table) e tabela de arestas activas (AET - Active Edge Table) no início do algoritmo.
- 1.2. Calcule as coordenadas dos pixels de preenchimento, apresentando cada iteração do algoritmo separadamente, indicando o estado da ET e AET, e apresente no final, de forma gráfica, o preenchimento.

R:

1.1.)

Antes de iniciar as iterações do algoritmo é necessário obter para cada aresta do polígono que vai ser preenchido, um conjunto de elementos informativos sobre os mesmos, tais como: declive  $m$  e  $\frac{1}{m}$ ,  $x_{\min}$ ,  $y_{\min}$  e  $y_{\max}$  por forma a podermos construir as tabelas ET e AET.

Nota:  $x_{\min}$  é a coordenada que acompanha  $y_{\min}$ .

Para cada aresta do polígono, vista como segmento de reta, obtemos os valores de  $m = \frac{dy}{dx}$  tendo em conta que cada aresta  $\overline{A_1A_2}$  é obtida através dos pontos sucessivos do polígono ligando o último ponto ao primeiro.

Temos assim:

$$\overline{AB} = [(4,1), (7,4)]; m = \frac{4-1}{7-4} = \frac{3}{3} = 1; y_{\min} = 1; x_{\min} = 4; y_{\max} = 4;$$

$$\overline{BC} = [(7,4), (7,7)]; m = \frac{7-4}{7-7} = \frac{1}{0} = \infty; \frac{1}{m} = 0; y_{\min} = 4; x_{\min} = 7; y_{\max} = 7;$$

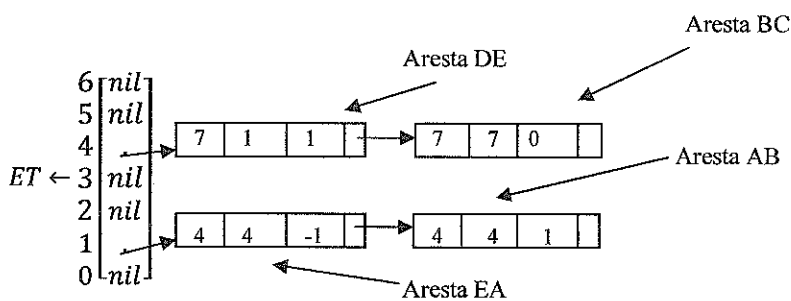
$$\overline{CD} = [(7,7), (4,7)]; m = \frac{7-7}{4-7} = \frac{0}{-3} = 0; \frac{1}{m} = \infty \text{ Segmento horizontal – logo ignora-se}$$

$$\overline{DE} = [(4,7), (1,4)]; m = \frac{4-7}{1-4} = \frac{-3}{-3} = 1; \frac{1}{m} = 1; y_{\min} = 4; x_{\min} = 1; y_{\max} = 7;$$

$$\overline{EA} = [(1,4), (4,1)]; m = \frac{1-4}{4-1} = \frac{-3}{3} = -1; \frac{1}{m} = -1; y_{\min} = 1; x_{\min} = 4; y_{\max} = 4;$$

No arranque do algoritmo as tabelas ET e AET tem o seguinte estado:

$AET \leftarrow nil$



2.2)

Seja a linha de varrimento (*scan-line*) definida por  $SL$  sendo que o varrimento se faz na vertical, percorrendo o eixo Y desde os valores mais pequenos até à maior coordenada em Y do polígonos.

$SL \leftarrow 1$  ou seja, a linha de varrimento recebe o valor do primeiro índice da entrada da tabela ET que não esteja vazia, neste caso a entrada 1, que corresponde à coordenada y menor do polígonos partilhada pelas arestas  $\overline{AB}$  e  $\overline{EA}$ .

### Iteração do algoritmo

Até que  $AET$  fique vazia repete

#### Iteração 1

- 1.1) Mover de  $ET$  para  $AET$  as arestas que passam a ser intersectadas por  $SL$ , ou seja, o valor de entrada com índice  $SL$ .

A tabela  $AET$  recebe então os valores da(s) aresta(s) de  $ET$  com entrada  $SL$ .

$$AET \leftarrow \overbrace{|4|4|-1|}^{\overline{EA}} \rightarrow \overbrace{|4|4|1|}^{\overline{AB}}$$

- 1.2) Eliminar de  $AET$  todas as arestas que deixam de ser intersectadas pela linha de varrimento  $SL$ . Basta verificar se existe alguma aresta em  $AET$  cujo  $y_{máximo} \leq SL$

Neste caso temos  $SL = 1$  e  $\overline{EA} y_{máximo} = 4$  e  $\overline{AB} y_{máximo} = 4$  logo  $SL <$  que ambos. Não existem arestas em condições de ser eliminadas de  $AET$ , ficando esta tabela inalterada.

- 1.3) Identificar pontos a desenhar no ecrã entre pares de arestas de  $AET$  (estas são as intersectadas por  $SL$ ).  
A coordenada em  $y$  é o valor de  $SL$  e temos de calcular os valores da abcissa  $x$  mais à esquerda e mais à direita (daqui a importância do valor de  $x_{mínimo}$  a abcissa que acompanha a ordenada do ponto de intersecção de  $SL$  com cada aresta).

Ou seja, vamos considerar os pontos entre  $x_{mínimo}$  de pares de arestas em  $AET$ .

Neste caso,  $\overline{EA} x_{mínimo} = 4$  e  $\overline{AB} x_{mínimo} = 4$  logo

Pontos a ativar: (4,1)

- 1.4) Incrementamos  $SL$  ou seja  $SL \leftarrow SL + 1; SL = 2$
- 1.5) Atualizamos  $AET$  de  $x_{mínimo}$  tendo em conta o incremento  $SL$  vem

$$x_{i+1} \leftarrow x_i + \frac{1}{m} \text{ para qualquer aresta.}$$

Temos então:

$$\overline{EA}: x_{i+1} \leftarrow 4 + (-1) = 3; \overline{AB}: x_{i+1} = 4 + 1 = 5$$

$$\overbrace{|4|3|-1|}^{\overline{EA'}} \rightarrow \overbrace{|4|5|1|}^{\overline{AB'}}$$

Iteração 2

- 2.1) Existem arestas na entrada  $SL (==2)$  de  $AET$ ? Não.
- 2.2) Existem arestas em  $AET$  tal que  $y_{máximos} \leq SL$ ? Não.
- 2.3) Pontos a ativar no ecrã entre pares de arestas de  $AET$ .  
 Abcissas entre  $x = 3 (\overline{EA}' x_{mínimo})$  e  $x = 5 (\overline{AB}' x_{mínimo})$   
 Pontos a ativar: (3,2), (4,2), (5,2)

2.4) Incrementamos  $SL$  ou seja  $SL \leftarrow SL + 1; SL = 3$

2.5) Atualizamos  $AET$  tal que

$$\overline{EA}': x_{i+1} \leftarrow 3 + (-1) = 2; \overline{AB}': x_{i+1} = 5 + 1 = 6$$

$$\text{Ficando } AET \leftarrow \overbrace{|4|2|-1|}^{\overline{EA}''} \rightarrow \overbrace{|4|6|1|}^{\overline{AB}''}$$

Iteração 3

- 3.1) Existem arestas na entrada  $SL (==3)$  de  $AET$ ? Não.
- 3.2) Existem arestas em  $AET$  tal que  $y_{máximos} \leq SL$ ? Não.
- 3.3) Pontos a ativar no ecrã entre pares de arestas de  $AET$ .  
 Abcissas entre  $x = 2 (\overline{DA}'' x_{mínimo})$  e  $x = 6 (\overline{AB}'' x_{mínimo})$   
 Pontos a ativar: (2,3), (3,3), (4,3), (5,3), (6,3)

3.4) Incrementamos  $SL$  ou seja  $SL \leftarrow SL + 1; SL = 4$

3.5) Atualizamos  $AET$  tal que

$$\overline{EA}'': x_{i+1} \leftarrow 2 + (-1) = 1; \overline{AB}'': x_{i+1} = 6 + 1 = 7$$

$$\text{Ficando } AET \leftarrow \overbrace{|4|1|-1|}^{\overline{DA}''} \rightarrow \overbrace{|4|7|1|}^{\overline{AB}''}$$

Iteração 4

- 4.1) Existem arestas na entrada  $SL (==4)$  de  $AET$ ? Sim, as arestas  $\overline{BC}$  e  $\overline{DE}$  (passam a ser intersectadas pela linha de varrimento  $SL$ )  
 Fica  $AET \leftarrow \overbrace{|4|1|-1|}^{\overline{EA}'''} \rightarrow \overbrace{|7|1|1|}^{\overline{DE}} \rightarrow \overbrace{|4|7|1|}^{\overline{AB}'''} \rightarrow \overbrace{|7|7|0|}^{\overline{BC}}$  (ordenada por  $x_{min}$ )
- 4.2) Existem arestas em  $AET$  tal que  $y_{máximos} \leq SL$ ? Sim, as arestas  $\overline{EA}'''$  e  $\overline{AB}'''$  pelo que são eliminadas da tabela  $AET$  (estas arestas deixam de ser intersectadas)  
 Fica  $AET \leftarrow \overbrace{|7|1|1|}^{\overline{DE}} \rightarrow \overbrace{|7|7|0|}^{\overline{BC}}$
- 4.3) Pontos a ativar no ecrã entre pares de arestas de  $AET$ .

Abcissas entre  $x = 1 (\overline{DE} x_{mínimo})$  e  $x = 7 (\overline{BC} x_{mínimo})$

Pontos a ativar: (1,4), (2,4), (3,4), (4,4), (5,4), (6,4), (7,4)

4.4) Incrementamos SL ou seja  $SL \leftarrow SL + 1; SL = 5$

4.5) Atualizamos AET tal que

$\overline{DE}: x_{i+1} \leftarrow 1 + 1 = 2; \overline{BC}: x_{i+1} = 7 + (0) = 7$  (segmento horizontal abcissa mantém)

Ficando  $AET \leftarrow \overbrace{|7|2|1}^{\overline{DE}'} \rightarrow \overbrace{|7|7|0}^{\overline{BC}'}$

### Iteração 5

5.1) Existem arestas na entrada SL ( $==5$ ) de ET? Não

5.2) Existem arestas em AET tal que  $y_{máximos} \leq SL$ ? Não

5.3) Pontos a ativar no ecrã entre pares de arestas de AET.

Abcissas entre  $x = 2 (\overline{DE}' x_{mínimo})$  e  $x = 7 (\overline{BC}' x_{mínimo})$

Pontos a ativar: (2,5), (3,5), (4,5), (5,5), (6,5), (7,5)

5.4) Incrementamos SL ou seja  $SL \leftarrow SL + 1; SL = 6$

5.5) Atualizamos AET tal que

$\overline{ED}': x_{i+1} \leftarrow 2 + 1 = 3; \overline{BC}': x_{i+1} = 7 + (0) = 7$

Ficando  $AET \leftarrow \overbrace{|7|3|1}^{\overline{ED}''} \rightarrow \overbrace{|7|7|0}^{\overline{BC}''}$

### Iteração 6

6.1) Existem arestas na entrada SL ( $==6$ ) de ET? Não.

6.2) Existem arestas em AET tal que  $y_{máximos} \leq SL$ ? Não.

6.3) Pontos a ativar no ecrã entre pares de arestas de AET.

Abcissas entre  $x = 3 (\overline{ED}'' x_{mínimo})$  e  $x = 7 (\overline{BC}'' x_{mínimo})$

Pontos a ativar: (3,6), (4,6), (5,6), (6,6), (7,6)

6.4) Incrementamos SL ou seja  $SL \leftarrow SL + 1; SL = 7$

6.5) Atualizamos AET tal que

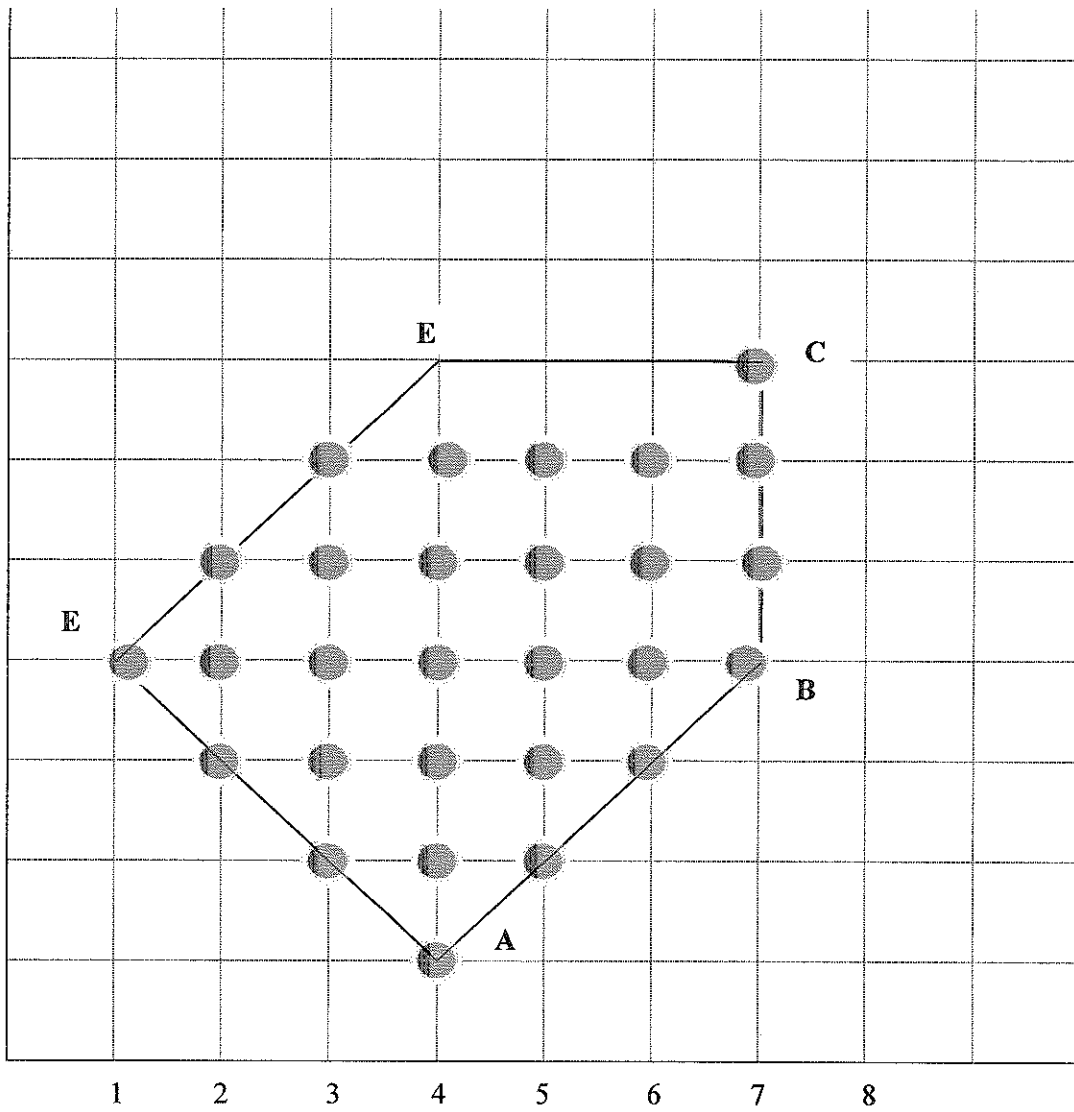
$\overline{ED}'': x_{i+1} \leftarrow 3 + 1 = 4; \overline{BC}'': x_{i+1} = 7 + (0) = 7$

Ficando  $AET \leftarrow \overbrace{|7|4|1}^{\overline{CD}'''} \rightarrow \overbrace{|7|7|0}^{\overline{BC}'''}$

### Iteração 7

7.1) Existem arestas na entrada SL ( $==7$ ) de ET? Não.

- 7.2) Existem arestas em  $AET$  tal que  $y_{máximos} \leq SL$ ? Sim, as arestas  $\overline{BC''}$  e  $\overline{CD''}$  (deixam de ser intersectadas pela linha de varrimento  $SL$ ) sendo eliminadas de  $AET$ . Ficando  $AET \leftarrow nil$  = condição para terminar o algoritmo.



**QUESTÃO 2 (2 valores)**

Dada a matriz de coeficientes geométricos  $\mathbf{B}$  obtenha os vetores coeficientes algébricos  $\mathbf{a}$ ,  $\mathbf{b}$ ,  $\mathbf{c}$  e  $\mathbf{d}$  sendo que

$$\mathbf{a} = [a_x \ a_y \ a_z], \mathbf{b} = [b_x \ b_y \ b_z], \mathbf{c} = [c_x \ c_y \ c_z], \mathbf{d} = [d_x \ d_y \ d_z].$$

Apresente todos os cálculos e matrizes utilizadas.

$$\mathbf{B} = \begin{bmatrix} 0 & -1 & 1 \\ 0 & 4 & 0 \\ 1 & 0 & 0 \\ 0 & 1 & 1 \end{bmatrix}$$

R:

2)

Temos que  $\mathbf{A} = \mathbf{MB}$  sendo que  $\mathbf{M}$  é a Matriz de Transformação Universal.

Tendo ainda que:

$$\mathbf{A} = [\mathbf{a} \ \mathbf{b} \ \mathbf{c} \ \mathbf{d}]^T = \begin{bmatrix} a_x & a_y & a_z \\ b_x & b_y & b_z \\ c_x & c_y & c_z \\ d_x & d_y & d_z \end{bmatrix}$$

Logo basta resolver por cálculo vetorial a expressão (sendo  $\mathbf{M}$  conhecida):

$$\begin{aligned} \mathbf{A} = \mathbf{MB} &= \begin{bmatrix} 2 & -2 & 1 & 1 \\ -3 & 3 & -2 & -1 \\ 0 & 0 & 1 & 0 \\ 1 & 0 & 0 & 0 \end{bmatrix} \cdot \begin{bmatrix} 0 & -1 & 1 \\ 0 & 4 & 0 \\ 1 & 0 & 0 \\ 0 & 1 & 1 \end{bmatrix} = \begin{bmatrix} 1 & (-2 - 8 + 1) & (2 + 1) \\ -2 & (3 + 12 - 1) & (-3 - 1) \\ 1 & 0 & 0 \\ 0 & -1 & 1 \end{bmatrix} \\ &= \begin{bmatrix} 1 & -9 & 3 \\ -2 & 14 & -4 \\ 1 & 0 & 0 \\ 0 & -1 & 1 \end{bmatrix} \end{aligned}$$

$$\mathbf{a} = [1 \ -9 \ 3]; \mathbf{b} = [-2 \ 14 \ -4]; \mathbf{c} = [1 \ 0 \ 0]; \mathbf{d} = [0 \ -1 \ 1]$$

**QUESTÃO 3 (2 valores)**

Admita que temos as seguintes funções de mistura Bézier.

$$B_0 = 5u - 4$$

$$B_1 = 2u^2 - 4u + 3$$

$$B_2 = -2u^2 - u + 1 \quad \text{com } u \in [0, 1].$$

Sendo os três pontos de controlo  $P_0 = (1, 0, -2)$ ,  $P_1 = (1, 1, 1)$ ,  $P_2 = (-1, 0, 0)$  calcule o ponto  $P = (p_x, p_y, p_z)$  da curva Bézier em  $u = 0.75$

R:

3)

Vamos recorrer ao cálculo matricial referente a Bézier de grau 2 (quadráticas), que são controladas por 3 pontos, tal que:

$$p(u) = UMP \text{ em que } U = [u^2 \ u \ 1]; M = \begin{bmatrix} 0 & 2 & -2 \\ 5 & -4 & -1 \\ -4 & 3 & 1 \end{bmatrix} \text{ e } P = [P_0 \ P_1 \ P_2]^T$$

Assim vem que:

$$p(u) = [u^2 \ u \ 1] \cdot \begin{bmatrix} 0 & 2 & -2 \\ 5 & -4 & -1 \\ -4 & 3 & 1 \end{bmatrix} \cdot \begin{bmatrix} P_0 \\ P_1 \\ P_2 \end{bmatrix} = [u^2 \ u \ 1] \cdot \begin{bmatrix} 0 & 2 & -2 \\ 5 & -4 & -1 \\ -4 & 3 & 1 \end{bmatrix} \cdot \begin{bmatrix} 1 & 0 & -2 \\ 1 & 1 & 1 \\ -1 & 0 & 0 \end{bmatrix}$$

Se substituirmos por  $u = 0.75$  vem:

Veja-se que esta expressão permite obter qualquer ponto da curva com  $u \in [0, 1]$ . Seja  $u = 0.5 = \frac{1}{2}$

$$\begin{aligned} p\left(u = \frac{1}{2}\right) &= \left[\left(\frac{1}{2}\right)^2 \ \frac{1}{2} \ 1\right] \cdot \begin{bmatrix} 0 & 2 & -2 \\ 5 & -4 & -1 \\ -4 & 3 & 1 \end{bmatrix} \cdot \begin{bmatrix} 1 & 0 & -2 \\ 1 & 1 & 1 \\ -1 & 0 & 0 \end{bmatrix} = \\ &= \left[\frac{1}{4} \ \frac{1}{2} \ 1\right] \cdot \begin{bmatrix} 4 & 2 & 2 \\ 2 & -4 & -14 \\ -2 & 3 & 11 \end{bmatrix} = \\ &= \left[ \left( \left(\frac{1}{4}\right) * 4 + \left(\frac{1}{2}\right) * 2 - 2 \right), \left( \left(\frac{1}{4}\right) * 2 - \left(\frac{1}{2}\right) * 4 + 3 \right), \left( \left(\frac{1}{4}\right) * 2 - \left(\frac{1}{2}\right) * 14 + 11 \right) \right] \\ &= \left[ 0, \left(\frac{3}{2}\right), \left(\frac{9}{2}\right) \right] \end{aligned}$$

**QUESTÃO 4 (2 valores)**

Descreva sucintamente as principais diferenças entre uma superfície gerada por uma grelha de curvas B-Spline e outra gerada por curvas Bézier.

R:

4)

Uma superfície gerada por uma grelha de curvas B-Spline permite construir superfícies de maior suavidade que as grelha formada com curvas Bézier já que as primeiras gozam de continuidade  $C^2$  nos pontos de junção.

Uma superfície gerada por curvas Bézier garante continuidade  $C^1$  nos pontos de junção.

Ou seja as superfícies B-Spline permitem modelar objetos com níveis elevados de exigência de suavidade.

---

**QUESTÃO 5 (2 valores)**

Apresente e justifique uma técnica de representação de sólidos que recomendaria para modelação de peças de automóvel.

R:

5) Tratando-se tipicamente de modelação com base na composição a partir de objetos previamente definidos (volumes) e mais simples a melhor técnica é a **instanciação de primitivas** a aplicar num conjunto de objetos básicos necessários à composição e disponibilizar para o efeito funções booleanas sobre volumes.

Pode-se ainda recorrer à **decomposição espacial** sendo que os objetos de partida constituem os modelos mais simples (cones, cilindros, rodas), e que permitem construir peças também recorrendo a funções booleanas sobre volumes.